

# بررسی استحکام فشاری و شکل شناسی اسفنجهای سخت پلی یورتانی

The Study of Compression Strength and Morphology of  
Rigid Polyurethane Foams

میراسد میرزا پور، محمدحسین بهشتی\*

تهران، پژوهشگاه پلیمر و پتروشیمی ایران، پژوهشکده فرایند، گروه کامپوزیت و چسب، صندوق پستی ۱۴۹۶۵/۱۱۵

دریافت: ۸۵/۳/۱۶، پذیرش: ۸۵/۷/۱۱

## چکیده

خواص فیزیکی- مکانیکی اسفنجهای پلی یورتانی سخت تا حد زیادی به شرایط فرایند تهیه آنها بستگی دارد. بسته به شرایط فرایند ساخت، استحکام فشاری و شکل شناسی سلولهای تشکیل شده در جهت موازی با جهت بالا آمدن اسفنج یا جهت عمود بر آن کاملاً متفاوت است. در این پژوهش، استحکام فشاری و شکل شناسی سلولی اسفنجهای پلی یورتانی سخت تهیه شده از ۴-۶ فنیل متان دی ایزوپریلات و پلی ال پلی استری بررسی شده است. در شرایط فرایندی مختلف و با استفاده از قالب فلزی بسته به ارتفاع ۲۰ cm، قالب کاغذی بسته به ارتفاع ۵۰ cm و قالب کاغذی باز به ارتفاع ۵۰ cm نمونه های آزمون اسفنج با گستره چگالی ۷۵ تا ۲۰۰ kg/m<sup>۳</sup> تهیه شدند، استحکام فشاری و شکل شناسی اسفنجها به کمک میکروسکوپ الکترون پویشی بررسی شد. نتایج نشان می دهد که استحکام فشاری و شکل شناسی سلولی اسفنجهای تشکیل شده در جهات موازی و عمود بر جهت بالا آمدن اسفنج در قالبهای بسته و قالبهای با ارتفاع کم تفاوت چندانی با هم ندارند. در حالی که استحکام و مدول فشاری اسفنجهای تهیه شده در قالب باز و با ارتفاع زیاد، در جهت موازی بسیار بیشتر از جهت عمود بر آن است و اسفنج خواص ناهمسان دارد.

## واژه های کلیدی

پلی یورتان سخت، اسفنج، شکل شناسی  
استحکام فشاری، چگالی

## مقدمه

به روش شیمیابی نیز انجام می شود. برخی از مواد شیمیابی با عوامل تولیدکننده گاز واکنش می کنند و حبابهای گاز تولید می شود. یکی از عوامل پفزایی شیمیابی که از آن بسیار زیاد استفاده می شود، آب است که با دی ایزوپریلات واکنش داده و کربن دیوکسید تولید می کند. فرایند اسفنجی

اسفنجهای پلی یورتانی از واکنش دی ایزوپریلاتها و پلی الها تشکیل می شوند. این واکنش گرمایی است، گرمای حاصل از واکنش بر تشکیل ساختار سلولی اثر می گذارد. این واکنش با تبخیر عوامل پفزایی فیزیکی مثل کلروفلورورکربنها یا هیدروکلروفلورورکربنها انجام می شود. پفزایی

## Key Words

rigid polyurethane, foam, morphology  
compression strength, density

\* مؤلف مسئول مکاتبات، پیام نگار: m.beheshty@ipm.ac.ir

## تجربی

### مواد

در این پژوهش، از دی‌ایزوسیانات و پلی‌ال  $610\text{ W}$  شرکت Urethan استفاده شد. با توجه به بررسی انجام شده این مواد شامل دی‌فنیل متان دی‌ایزوسیانات و پلی‌ال پلی‌استری است. نسبت اختلاط این دو ماده براساس برگه مشخصات سازنده به نسبت  $60$  به  $40$  درصد وزنی ایزوسیانات به پلی‌ال است. پس از توزیع، دو ماده به مدت  $5$  به  $50$  کمک مخلوط‌کن با سرعت  $1500\text{ rpm}$  مخلوط شدند. زمان کرمی شدن این مواد  $55$  و زمان ژل شدن آنها  $140$  به  $65$  است.

### دستگاهها و روشها

به منظور انجام آزمونهای فشاری از دستگاه Instron مدل  $6025$  استفاده شد. از اسفنجهای ساخته شده، نمونه‌هایی به ابعاد  $20 \times 13 \times 6/5\text{ mm}$  در جهات موازی و عمود برجهت بالا آمدن اسفنج برش داده شد. سپس، استحکام و مدول فشاری آنها اندازه‌گیری شد. آزمون فشاری طبق استاندارد ISO  $844-1978$  انجام شد. سرعت کشش در این آزمونها  $5\text{ mm/min}$  بوده است.

شكل شناسی نمونهای اسفنج پلی‌پورتانی به وسیله میکروسکوپ الکترون پویشی (SEM) مدل  $S$  ساخت شرکت Cambridge Instruments انگلستان بررسی شد. نمونه‌ها در دمای محیط برش داده شدند، سپس  $20\text{ kV}$  روی آنها با لایه‌ای نازک از طلا پوشش داده شد. ولتاژ دستگاه  $20\text{ kV}$  تنظیم شد. برای مخلوط کردن دو جزء پلی‌ال و پلی‌ایزوسیانات از همزن مکانیکی Heidolph مدل  $2102$  ساخت کشور آلمان استفاده شد.

برای تهیه اسفنجهای پلی‌پورتانی، قالبی فلزی به ابعاد  $30 \times 20 \times 1\text{ cm}$  و قالب کاغذی استوانه‌ای به قطر  $50\text{ cm}$  و ارتفاع  $12\text{ cm}$  بکار گرفته شد. برای تزریق مخلوط اجزای سازنده اسفنج به داخل قالب فلزی، در وسط لبه کناری آن روزنه‌ای کوچک به قطر  $3\text{ mm}$  ایجاد شد، مواد پس از اختلاط به کمک سرنگ با حجم  $60\text{ mL}$  تزریق شدند.

از قالب‌های کاغذی با ارتفاع  $50\text{ cm}$  و قطر  $12\text{ cm}$  برای تهیه نمونه‌هایی با ارتفاع زیاد استفاده شد. برای بررسی خواص فشاری اسفنجهای تهیه شده در قالب  $50\text{ cm}$  از سه نمونه اسفنج با سه چگالی مختلف استفاده شد. بدین ترتیب، با اختلاط اجزای سازنده در دمای محیط، وزنهای مشخصی از اسفنجهای پلی‌پورتانی ( $60$ ،  $90$  و  $120\text{ g}$ ) تهیه و پس از اختلاط، به قالب‌های کاغذی منتقل شدند و درب قالب برای مدت زمان نسبتاً طولانی بسته نگه داشته شد. در این حالت، فشار خاصی روی

شدن رامی توان به وسیله هسته‌زایی و رشد هسته‌های تولید شده توضیح داد [۱-۴]. اسفنجهای پلی‌پورتانی عموماً به دو گروه انعطاف‌پذیر و سخت دسته‌بندی می‌شوند، اگرچه مرز مشخصی بین این دو گروه وجود ندارد. شیمی هر دو گروه اساساً یکسان است، اما خواص فیزیکی و مکانیکی و همچنین کاربردهای آنها با یکدیگر بسیار متفاوت است. تفاوت‌ها به این دلیل است که اسفنجهای انعطاف‌پذیر از زنجیرهای با وزن مولکولی بزرگتر و خطی‌تر تشکیل شده‌اند. این امر باعث می‌شود تا دمای انتقال شیشه‌ای اسفنجهای انعطاف‌پذیر کمتر از دمای محیط باشد، در حالی که این دمای برای اسفنجهای سخت بیشتر از دمای محیط است. عامل دیگری که باعث ایجاد تفاوت بین این دو گروه اسفنج می‌شود، سلول باز بودن انواع انعطاف‌پذیر در مقایسه با اسفنجهای سخت سلول بسته است.

تفاوت در خواص اسفنجهای پلی‌پورتانی به تفاوت در کاربردهای آنها منجر می‌شود. انعطاف‌پذیری و قابلیت جذب انرژی زیاد در پلی‌پورتانهای اسفنجهای سخت به کاربرد آنها به عنوان مواد تشکی انجامیده است [۱، ۲]. اسفنجهای نرم پلی‌پورتانی علاوه بر مصارف فراوان خانگی کاربردهای ویژه‌ای نیز دارند. به عنوان مثال انواع اسفنج با اندازه سلولی بزرگ در ساخت صافیهای سرامیکی مصرف می‌شوند [۵].

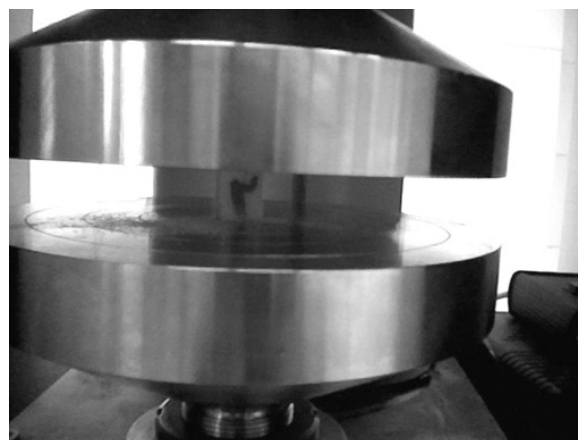
کاربردهای اسفنجهای پلی‌پورتانی سخت به شکنندگی یا چقرمگی آنها بستگی دارد. به طور کلی، اسفنجهای شکننده به عنوان عایقهای گرمایی و انواع چقرمه به عنوان مواد ساختاری به ویژه در صنایع مبلمان و ساخت‌مان‌سازی بکار می‌روند. ساختار نهایی و خواص اسفنجهای پلی‌پورتانی سخت به معماری مولکولی پلیمر بکار رفته و شرایط فرایند ساخت آن بستگی دارد [۶]. اسفنجهای ساختاری به دلیل بهینه بودن از نظر وزن و خواص مکانیکی کاربردهای ویژه‌ای یافته‌اند [۷].

باتوجه به نوع کاربردهای مختلف اسفنجهای سخت، خواص مکانیکی فشاری، به ویژه مدول فشاری و تنش تسلیم فشاری اهمیت زیادی دارد. از طرفی خواص مکانیکی اسفنجهای سخت، ناهمسان (anisotropic) و تابع جهت اندازه‌گیری است. بنابراین ضرورت دارد که خواص اندازگیری شده در جهت موازی با جهت بالا آمدن اسفنج و جهت عمود بر آن به دقت بررسی شود [۸-۹].

باتوجه به کاربردهای متنوع اسفنجهای سخت پلی‌پورتانی، در این کار پژوهشی استحکام و مدول فشاری نوعی از این اسفنج در دو جهت عمود و موازی با جهت بالا آمدن اسفنج، شکل شناسی سلولها و اثر چگالی اسفنج، همچنین نوع قالب و اثر آن بر آرایش سلولها و خواص اسفنج مطالعه شده است.

جدول ۱ نتایج آزمون فشاری اسفنج پلی‌پورتانی در جهت‌های عمود و موازی باجهت بالا آمدن اسفنج.

استحکام فشاری (MPa)		مدول فشاری (MPa)		چگالی (kg/m³)	قطعه
جهت موازی	جهت عمود	جهت عمود	جهت موازی		
۱/۹	۱/۷	۵۸	۵۶	۱۶۲	۱
۲/۹	۲/۵	۸۲	۹۰	۱۷۶	۲
۳/۵	۳/۱	۱۰۰	۱۰۳	۲۰۰	۳



شکل ۱ آزمون فشاری نمونه اسفنجی.

$$(1) \quad A_{(\text{چگالی})} = \text{استحکام} \text{ یا مدول}$$

در این معادله ثابت A با دما و خواص فیزیکی رزین و توان B با ساز و کار تغییر شکل مواد سلولی مرتبط است. برای توان B اعداد بین ۱ تا ۲ گزارش شده است [۸،۹]. در حالت اعمال معادله (۱) به نتایج شکل ۱، توان B برای هر دو جهت برابر و معادل ۲/۷ بdst می‌آید. نکته قابل توجه برابر بودن ثابت A و توان B برای هر دو جهت بالا آمدن اسفنج است. با رسم تغییرات مدول بر حسب چگالی، مشاهده می‌شود که تغییرات آن دقیقاً مشابه تغییرات استحکام است و توان B برای آنها نیز یکسان است.

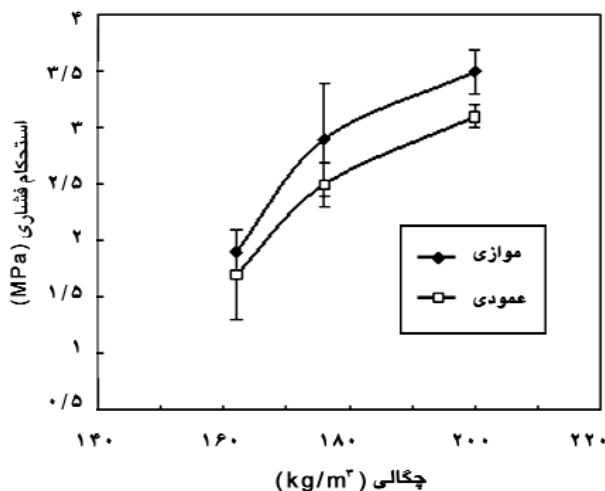
نتایج نشان می‌دهد که استحکام فشاری در جهت موازی بیش از جهت عمود است. استحکام در جهت موازی در حداقل مقدار تقریباً ۱۳ درصد بیشتر از جهت عمود است. در حالی که نتایج سایر پژوهشگران [۱۰،۱۱]

قالب اعمال نشده، فقط درب قالب بسته شد تا موادی از آن خارج نشود. به همین ترتیب نمونه‌های با قالب درب باز نیز تهیه شد. نمونه‌ها بعداز قالبگیری به مدت یک هفته در دمای محیط باقی ماندند، سپس از آنها نمونه‌های آزمون تهیه شد. در شکل ۱ نحوه اجرای آزمون فشاری نمونه‌های اسفنجی تهیه شده بعد از یک هفته نشان داده شده است. استحکام و مدول فشاری ذکر شده متوسط حداقل پنج اندازه‌گیری است.

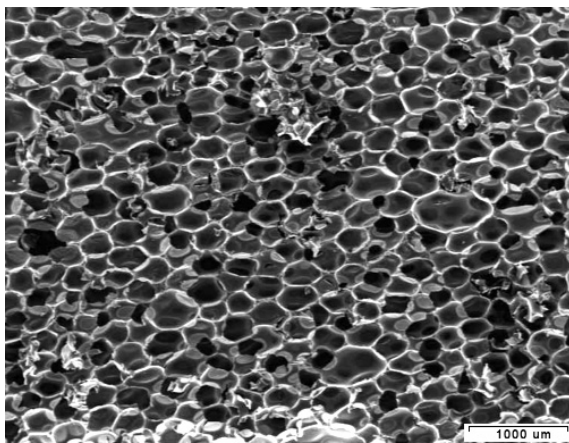
## نتایج و بحث

### قالب فلزی بسته خواص مکانیکی

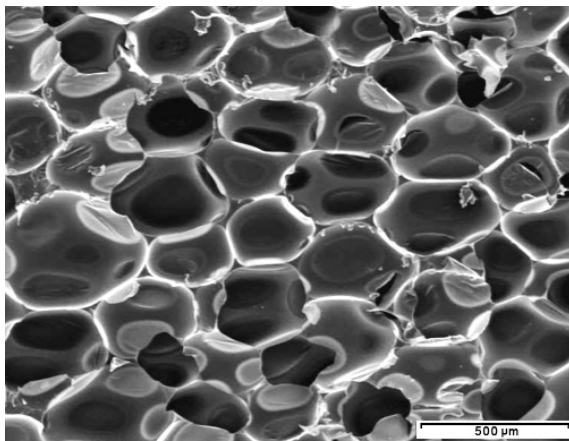
نتایج خواص خمی نمونه اسفنجهای سخت تهیه شده با چگالی‌های مختلف در دو جهت موازی و عمود بر جهت بالا آمدن اسفنج در جدول ۱ آمده است. این جدول نشان می‌دهد که با افزایش چگالی اسفنج، مدول و استحکام فشاری افزایش می‌یابد. برای درک بهتر، تغییرات استحکام فشاری بر حسب چگالی اسفنج برای نمونه‌های تهیه شده در جهات موازی و عمود بر جهت پف کردن مواد به ترتیب در شکل ۲ به همراه انحراف معیار نتایج نشان داده شده است. همان‌طور که مشاهده می‌شود استحکام فشاری نمونه‌ها با افزایش چگالی افزایش می‌یابد اما، این افزایش به طور خطی نیست. خواص مکانیکی مواد سلولی اساساً به چگالی آنها بستگی دارد. از یک معادله توانی ساده می‌توان استفاده کرد تا رابطه بین خواص مکانیکی مانند استحکام و مدول با چگالی پیش‌بینی شود.



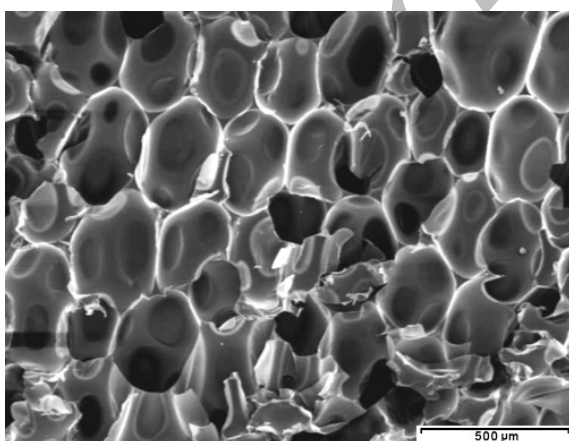
شکل ۲ تغییر استحکام فشاری اسفنج پلی‌پورتانی بر حسب چگالی در جهت‌های موازی و عمود با جهت بالا آمدن اسفنج.



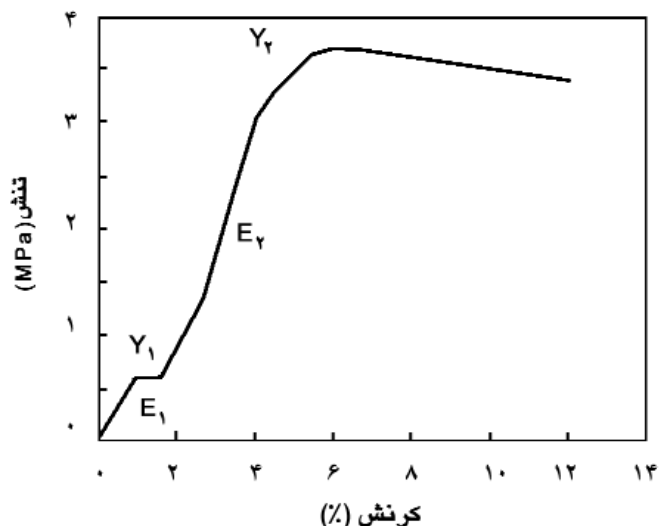
شکل ۴ تصویر SEM اسفنج ۱ (چگالی  $162 \text{ kg/m}^3$ ) درجهت عمود برجهت بالا آمدن اسفنج (بزرگنمایی ۲۰).



شکل ۵ تصویر SEM اسفنج ۱ (چگالی  $162 \text{ kg/m}^3$ ) در جهت عمود برجهت بالا آمدن اسفنج (بزرگنمایی ۶۰).

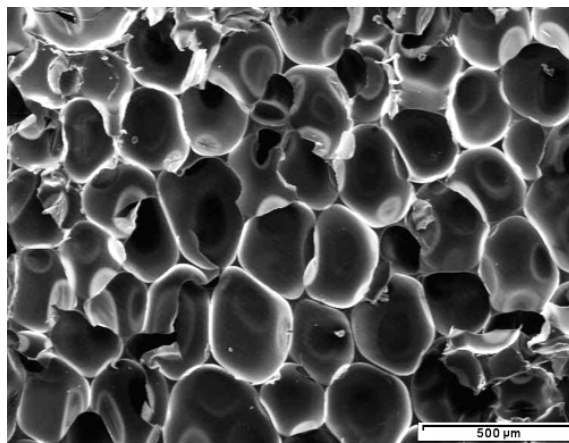


شکل ۶ تصویر SEM اسفنج ۱ (چگالی  $162 \text{ kg/m}^3$ ) در جهت موازی با جهت بالا آمدن اسفنج (بزرگنمایی ۶۰).

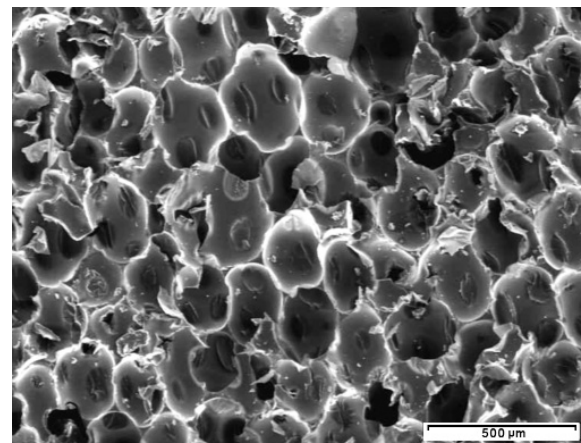


شکل ۳ نمودار تنش-کرنش اسفنج سخت پلی‌پورتانی تحت فشار.

نیاز دارد که استحکام فشاری اسفنجهای پلی‌پورتانی در جهت موازی تقریباً دو برابر جهت عمود است. افزایش استحکام فشاری در جهت موازی با بالا آمدن اسفنج ناشی از جهت‌گیری زنجیر مولکولهای پلیمری و سلولهای تشکیل شده در جهت موازی است. این ساختار آرایش یافته سبب می‌شود که اسفنج همانند شبکه‌ای مستحکم نیروهای فشاری بیشتری را تحمل کند. مطابق نتایج جدول ۱ اختلاف مقدار جهت‌گیری سلولها دقیقاً در جهت‌های موازی و عمود برجهت بالا آمدن اسفنج چندان زیاد نیست. دلیل این امر آن است که در قالب بسته، اسفنج بعد از رسیدن به لبه‌های قالب، چون هنوز در حال بالا آمدن است، در تمام جهتها به حرکت ادامه می‌دهد و بر جهت یابی سلولها اثر می‌گذارد. منحنیهای تنش-کرنش فشاری تمام نمونه‌های ۱ تا ۳ تهیه شده با چگالیهای مختلف مشابه شکل ۳ است. همان‌طور که در این شکل مشاهده می‌شود در منحنی تنش-کرنش فشاری دو نقطه تسیلم ( $Y_1, Y_2$ ) وجود دارد. اولین نقطه تسیلم ( $Y_1$ ) را می‌توان به سلولهای ضعیفتر موجود در نمونه ربط داد. دومین نقطه تسیلم ( $Y_2$ ) به آغاز شکست ماکروسکوپی کل نمونه تحت فشار مربوط می‌شود. مدلولهای  $E_1$  و  $E_2$  تقریباً با هم برابراند، ولی به هر حال  $E_2$  به مقدار خیلی کمی از  $E_1$  بزرگتر است.  $E_2$  مدول در طول مدت زمان تغییر شکل نمونه است و اغلب به عنوان مدول نمونه در نظر گرفته می‌شود. در بررسی منحنیهای تنش-کرنش فشاری اسفنجهای پلی‌پورتانی باید در نظر داشت که بیش از ۹۵ درصد سلولها بسته هستند [۸,۹]. اسفنجهای مورد بررسی در این پژوهش نیز همان‌طور که در بخش بعدی مشاهده خواهد شد، تقریباً چنین ساختاری دارند.



شکل ۸ تصویر SEM اسفنج ۲ (چگالی  $176 \text{ kg/m}^3$ ) در جهت موازی با جهت بالا آمدن اسفنج (بزرگنمایی ۶۰).



شکل ۷ تصویر SEM اسفنج ۲ (چگالی  $176 \text{ kg/m}^3$ ) در جهت عمود بر جهت بالا آمدن اسفنج (بزرگنمایی ۶۰).

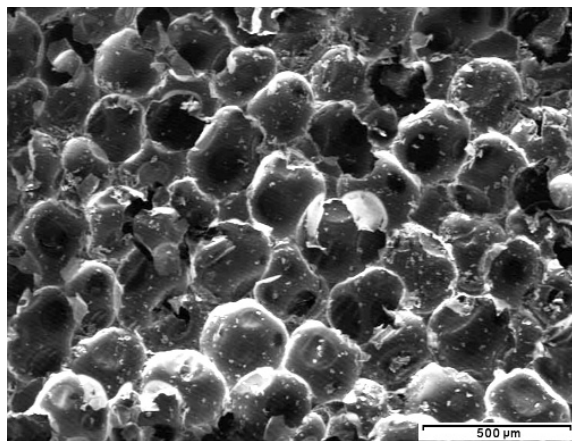
به دلیل کم بودن ارتفاع قالب، سلولها فرصت کافی برای جهت‌گیری مناسب ندارند. دومین دلیل ممکن است به بسته بودن قالب مربوط باشد، چرا که اسفنج در حال بالا آمدن نیروی زیادی به اطراف وارد می‌کند، وقتی به لبه‌های قالب می‌رسد با نیرویی که به لبه‌ها وارد می‌کند در جهت‌های مختلف شروع به حرکت خواهد کرد. این امر باعث می‌شود که زنجیرهای پلیمری و سلولهای تشکیل شده جهت‌گیری کاملاً مشخصی نداشته باشند.

#### بررسی اثر ارتفاع قالب

در بخش قبلی عنوان شد که دلیل عدم جهت‌گیری سلولها در اسفنجهای مورد مطالعه ۱ تا  $۳$ ، کم بودن ارتفاع قالب است. بدین دلیل از قالبی استوانه‌ای با ارتفاع زیاد ( $50 \text{ cm}$ ) استفاده شد، تا اثر این عامل نیز بررسی شود. نمونه اسفنجهای ۴ تا  $۶$  با استفاده از این قالب تهیه شدند. در ضمن، پس از قالب‌گیری درب قالب بسته شد تا از پف کردن آزاد نمونه‌ها ممانعت شود.

جدول ۲ نتایج آزمون فشاری اسفنجهای پلی پورتانی تهیه شده در قالب با ارتفاع  $50 \text{ cm}$  در جهت عمودی و موازی با جهت بالا آمدن اسفنج (اعداد داخل پرانتز مقادیر انحراف معیار داده‌ها را نشان می‌دهند).

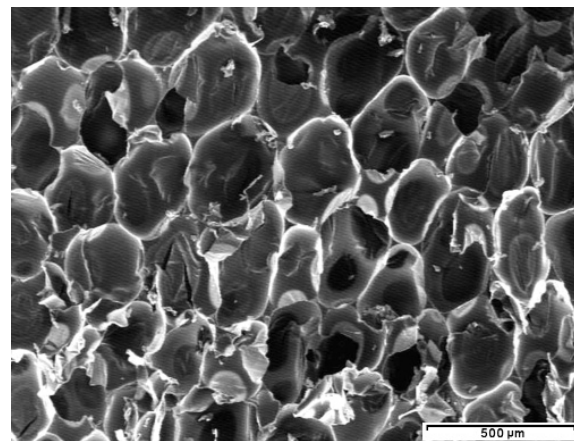
استحکام فشاری (MPa)		مدول فشاری (MPa)		چگالی (kg/m <sup>3</sup> )	قطعه
جهت موازی	جهت عمود	جهت موازی	جهت عمود		
۱/۳(۰/۱)	۱/۰(۰/۲)	۳۲(۴)	۲۱(۵)	۱۰۵(۳)	۴(۶۰g)
۱/۵(۰/۱)	۱/۴(۰/۱)	۳۷(۵)	۳۳(۴)	۱۳۵(۲)	۵(۹۰g)
۲/۷(۰/۱)	۲/۶(۴)	۶۷(۶)	۶۲(۹)	۱۸۰(۵)	۶(۱۲۰g)



شکل ۱۱ تصویر SEM اسفنج ۵ (چگالی  $135 \text{ kg/m}^3$ ) در جهت موازی با جهت بالا آمدن اسفنج (بزرگنمایی ۶۰).

شکلهای ۹ تا ۱۲ آمده است. تصاویر بدست آمده در جهت‌های موازی و عمود نمونه ۴ (شکلهای ۹ و ۱۰) نشان می‌دهد که سلولها در جهت موازی اندکی جهت‌یافته هستند، ولی در جهت عمودی کاملاً فاقد جهت‌گیری‌اند. تصاویر میکروسکوپی بدست آمده برای اسفنجهای ۵ و ۶ مشابه هم هستند. بنابراین، فقط این تصاویر برای اسفنج ۵ در شکلهای ۱۱ و ۱۲ آورده شده است. این شکلهای نشان می‌دهند که جهت‌گیری سلولها در جهات موازی و عمودی نامعین است. شاید به همین دلیل است که استحکام و مدول فشاری اسفنج ۴ در جهات موازی و عمودی تفاوت بیشتری نسبت به اسفنجهای ۵ و ۶ دارد.

به طور کلی تصاویر SEM این نمونه‌ها نشان می‌دهد که جهت‌گیری سلولها در جهت موازی با جهت بالا آمدن اسفنج حتی کمتر از



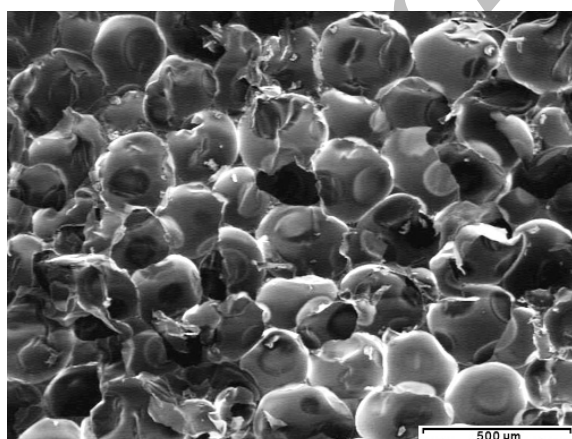
شکل ۹ تصویر SEM اسفنج ۴ (چگالی  $105 \text{ kg/m}^3$ ) در جهت موازی با جهت بالا آمدن اسفنج (بزرگنمایی ۶۰).

#### خواص مکانیکی

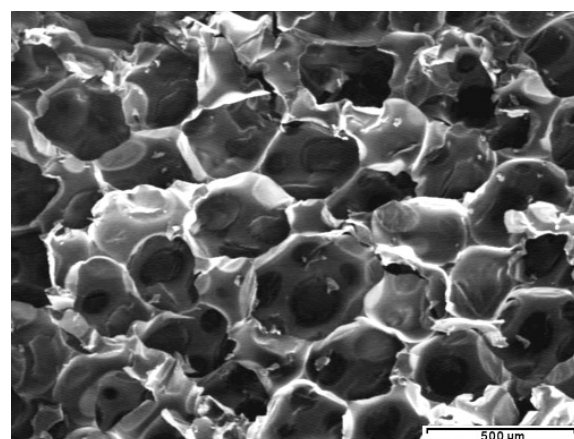
نتایج خواص فشاری اسفنجهای ساخته شده در قالب با ارتفاع زیاد در جهت عمودی و موازی در جدول ۲ آمده است. همان‌طور که مشاهده می‌شود در این نمونه‌ها نیز همچون قالب با ارتفاع کم، مدول و استحکام فشاری با چگالتر شدن نمونه‌ها افزایش می‌یابد. به عنوان مثال با افزایش چگالی از  $105 \text{ kg/m}^3$  به  $180 \text{ kg/m}^3$  استحکام فشاری در جهت موازی از  $1/3$  به  $2/7 \text{ MPa}$  افزایش می‌یابد. از طرفی، در این نمونه‌ها نیز استحکام فشاری در جهت موازی تفاوت خیلی کمی با جهت عمودی دارد.

#### شکل‌شناسی سلولها

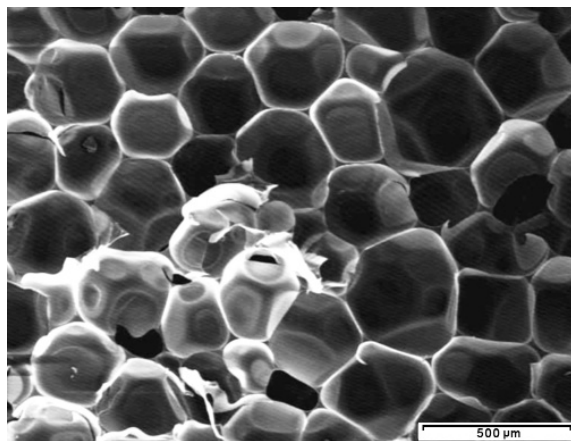
تصاویر میکروسکوپ الکترون پویشی اسفنجهای ۴ و ۵ به ترتیب در



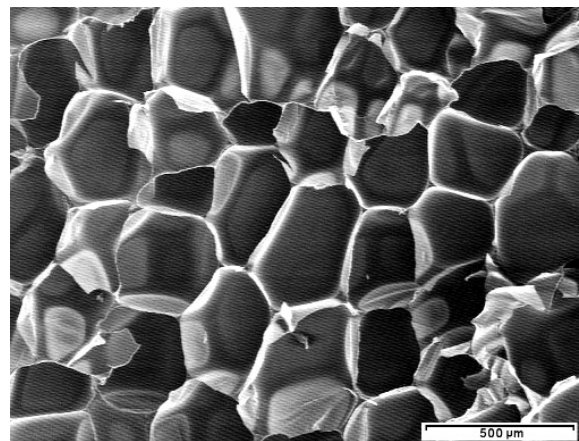
شکل ۱۲ تصویر SEM اسفنج ۵ (چگالی  $135 \text{ kg/m}^3$ ) در جهت عمود بر جهت بالا آمدن اسفنج (بزرگنمایی ۶۰).



شکل ۱۰ تصویر SEM اسفنج ۴ (چگالی  $105 \text{ kg/m}^3$ ) در جهت عمود بر جهت بالا آمدن اسفنج (بزرگنمایی ۶۰).



شکل ۱۴ تصویر SEM اسفنج ۷ (چگالی  $75 \text{ kg/m}^3$ ) در جهت عمود برجهت بالا آمدن اسفنج (بزرگنمایی ۶۰).



شکل ۱۳ تصویر SEM اسفنج ۷ (چگالی  $75 \text{ kg/m}^3$ ) در جهت موازی با جهت بالا آمدن اسفنج (بزرگنمایی ۶۰).

**خواص مکانیکی**  
نتایج آزمون فشاری اسفنج تهیه شده در حالت پف کردن آزاد، در جهت عمود و موازی با بالا آمدن اسفنج در جدول ۳ آمده است. همان‌طور که نتایج نشان می‌دهند استحکام و مدول فشاری این اسفنج در جهت موازی به ترتیب  $160$  و  $272$  درصد بیشتر از جهت عمود بر بالا آمدن اسفنج است. اگر چه چگالی اسفنج  $7$  ( $75 \text{ kg/m}^3$ ) به مراتب از چگالی اسفنج  $4$  ( $105 \text{ kg/m}^3$ ) کمتر است، اما از مدول برابر با آن در جهت موازی بخوددار است. در ضمن باید توجه داشت از آنجا که اسفنج مزبور خواص ناهمسان دارد، هنگام استفاده از این روش برای تولید قطعات صنعتی باید جهت اعمال نیروها با جهت پف کردن اسفنج تطابق داشته باشد.

**شكل شناسی سلولها**  
تصاویر SEM اسفنج  $7$  در جهات موازی و عمود در شکلهای  $13$  و  $14$  آمده است. این تصاویر نشان می‌دهند که سلولها در جهت موازی با جهت بالا آمدن اسفنج جهت گیری کرده‌اند. این پدیده تأیید کننده نتایج بدست آمده برای خواص فشاری این اسفنج است.

## نتیجه گیری

نتایج این پژوهش نشان می‌دهد که اسفنج پلی پورتانی سخت، وقتی به حالت آزاد و در قالب‌های باز تهیه شود، استحکام و مدول فشاری آن در جهت موازی با جهت بالا آمدن اسفنج خیلی بیشتر از جهت عمود بر آن

جهت‌گیری سلولها در اسفنجهای تهیه شده در قالب فلزی بسته است. در قالب فلزی ضخامت نمونه‌ها  $10 \text{ cm}$  بوده، اما در قالب کاغذی قطر قالب استوانه‌ای  $120 \text{ cm}$  بوده است. به نظر می‌رسد که نه فقط ارتفاع قالب بلکه نسبت ارتفاع به ضخامت (یا قطر) نیز حائز اهمیت است، همین امر روی جهت‌گیری سلولها اثر می‌گذارد.

**بررسی اثر پف کردن آزاد**  
در بخش‌های قبلی چنین عنوان شد که دلیل دیگر برابر تقریبی خواص خمی اسفنج پلی پورتانی در دو جهت موازی و عمود بر جهت پف کردن اسفنج، بسته بودن قالب است. به عبارت دیگر مواد نمی‌توانند به شکل آزاد پف کرده (free rise) و سلولها جهت‌گیری کنند. بدین منظور،  $g$   $120$  مواد اولیه اسفنج آماده به داخل قالب استوانه‌ای با ارتفاع  $50 \text{ cm}$  منتقل و اجازه داده شد تا مواد به طور آزاد پف کنند. بیش از یک سوم اسفنج از قالب خارج شد. از اسفنج بدست آمده نمونه‌هایی برای آزمون فشاری تهیه و شکل شناسی سلولها نیز به وسیله SEM بررسی شد.

جدول ۳ نتایج آزمون فشاری اسفنج پلی پورتانی تهیه شده در جهت عمود و موازی با جهت بالا آمدن اسفنج (اعداد داخل پرانتز مقادیر انحراف معیار داده‌ها را نشان می‌دهند).

قطعه	چگالی ( $\text{kg/m}^3$ )	مدول فشاری (MPa)	استحکام فشاری (MPa)	جهت موازی	جهت عمود	جهت موازی
۷ ( $120 \text{ g}$ )	$75 (2)$	$8/6 (2)$	$32 (5)$	$0/27 (0/1)$	$0/7 (0/2)$	

پلیمری و سلولها در جهت موازی با جهت بالا آمدن اسفنج جهتگیری نمی‌کنند. به همین دلیل، استحکام و مدول فشاری اسفنج پلیپورتانی تهیه شده در قالب‌های بسته در جهات موازی و عمودی تقریباً یکسان است و خواص مکانیکی همسان دارند.

است. به عبارت دیگر، خواص مکانیکی ناهمسان دارد. دلیل این پدیده امکان جهتگیری زنجیرهای پلیمری و سلولهای بوجود آمده در جهت موازی با جهت بالا آمدن اسفنج است. اما، برای اسفنجهای ساخته شده در قالب فلزی بسته، به دلیل ارتفاع کم و نیز بسته بودن قالب، زنجیرهای

## مراجع

1. Wood G, *The ICI Polyurethanes Book*, John Wiley and Sons, New York, Chap. 7, 1990.
2. Oertel G., *Polyurethane Handbook*, Hanser, New York, Chap. 3, 1985.
3. Klempner D. and Frisch K.C., *Handbook of Polymeric Foams and Foam Technology*, Hanser, New York, Chap. 5, 1991.
4. Gibson L.H. and Asby M.F., *Cellular Solid-structure and Properties*, 2nd ed., Cambridge University, Chap. 1, 1997.
5. Barmar M. and Barikani M., Preparation of Flexible Polyurethane of Large Cell Foam, *Iran. Polym. J. Sci. Technol.*, **15**, 295-299, 2003.
6. Barikani M., *Rigid Polyurethane Foam*, Iran Polymer Society, Tehran, 2005.
7. Akbarian M. and Beheshty M.H., Structural Foams, *Iran. Polym. J. Sci. Technol.*, **5**, 30-40, 1992.
8. Jung H.C. and Ryu C.S., Properties of Rigid Polyurethane Foams Blown by HCFC 141B and Distilled Water, *J. Appl. Polym. Sci.*, **81**, 486-493, 2001.
9. Feng J. and Ling Y., Structures and Physical Properties of Rigid Polyurethane Foams Prepared with Rosin-based Polyol, *J. Appl. Polym. Sci.*, **84**, 598-604, 2002.
10. Swyngedau S., Nussinovich A. and Pleleg M., Models for the Compressibility of Layered Polymeric Sponges, *Polym. Eng. Sci.*, **31**, 140-144, 1991.
11. Zhang Y., Heath R.Z., and Hourston D.J., Morphology, Mechanical Properties and Thermal Stability Polyurethane-epoxide Interpenetrating Polymer Network Rigid Foam, *J. Appl. Polym. Sci.*, **75**, 406- 416, 2000.